

TEHNIČNE NOVICE

Predstavljamo vam laboratorij za korozjske raziskave v slovenskih železarnah — Metalurškem inštitutu

Vehovar Leopold¹

V tem prispevku želimo na enostaven način podati informacijo o korozjskem laboratoriju na Metalurškem inštitutu v Ljubljani, o njegovi najnovejši opremljenosti, možnosti raziskav, povsem bežno pa smo obdelali tudi nekatere metode, ki bralcu nudijo le orientacijo pri njegovem snovanju lastnih raziskav, ali reševanju problemov, povezanih s korozijo. Namenoma nekoliko razširjen uvod jasno prezentira, kako pomembna je borba proti delovanju različnih vrst korozije.

1. UVOD

Odločilna dejavnika v bodočem razvoju vsake industrializirane dežele sta zmogljivost industrije in uspešnost izvoza produktov. V tem kontekstu pa so surovine in iz njih pridobljene kovine oz. zlitine ključnega pomena. Poznano je, da so vsaj evropske dežele zelo odvisne od mineralnih surovin in še posebej energije, zato je korozija pomembna postavka, ki znatno vpliva na nacionalni dohodek. Dejstvo je, da so korozjski procesi irreverzibilni, kar pomeni izgubo materiala in energije. Na ta način nezadržno pojemajo, bodisi rudnike bodisi kovine. Svetovna surovinska baza je torej pičla in z rudami ne moremo razpolagati tako neodgovorno. Cilji v visoko razvitih industrijskih deželah so torej jasni; vse je usmerjeno v varčevanje materiala zaradi senzacionalnih številk v zvezi z zalogami rud, ceno energijo in predvsem uničujočega pohoda korozije. Iz vsega tega sledi, da bo bodoči razvoj usmerjen v pridobivanje številnih novih zlitin z optimalno kemično sestavo in mehanskimi lastnostmi, ki bodo uporabne za natančno določene elemente, z definirano življenjsko dobo, veliko zanesljivostjo oz. varnostjo obratovanja ter združljivostjo z okoljem. Pri vsem tem pa ima korozija pomembno vlogo.

Analize različnih inštitucij v svetu kažejo, da znašajo škode, ki jih povzroča korozija v industrijsko razvitetih deželah od 2 do 4,2 % narodnega dohodka — v ZDA npr. ca. 126 milijard \$/leto. Če operiramo s takšnimi podatki, potem je povsem jasno, čemu uvrščajo korozijo med največje uničevalce človeških dobrin in energije.

Študij različnih oblik korozije torej ni le akademskega značaja. Korozija se je hitro razvila v eksaktno znanost. Večji del tega progrusa je možno pripisati razvoju številnih raziskovalnih tehnik, ki so omogočile študij koroziskih procesov. Na osnovi hitrih sodobnih koroziskih testov je možno napovedati korozjsko obnašanje različnih zlitin v različnih koroziskih medijih. Laboratorijski testi so še posebej uporabni za kontrolo kvalitete, selekcijo

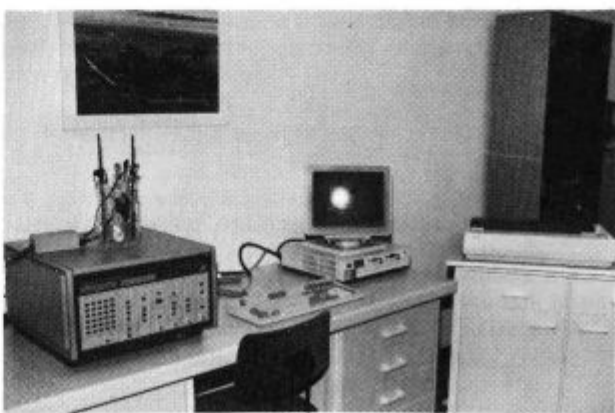
materialov in za študij mehanizmov korozije. Večina metod je že standardiziranih in v rabi po vsem svetu.

V Slovenskih železarnah, kamor je naše delo predvsem usmerjeno, so se nakopičili različni problemi, povezani s kvaliteto naših jekel in litin, ki se vgrajujejo v vitalne dele različne strojne opreme, namenjene številnim procesnim tehnikam v kemični industriji, petrokemiji, rudarstvu, prehrambeni, lesno predelovalni in papirni industriji, pa tudi ladjevodništvu in drugim oblikam transporta, elektrarnam itd. V takšnih pogojih so storitve koroziskskega laboratorija zelo iskane.

2. IZGLED IN SESTAVA KOROZJSKEGA LABORATORIJA

2.1. Elektrokemične raziskave

Večji del elektrokemičnih raziskav temelji na potenciometričnih meritvah, ki omogočajo določanje različnih koroziskih dejavnikov pri medsebojni odvisnosti potencial-tok. Merilo za korozjsko hitrost je koroziski tok, saj je masa korodirane kovine proporcionalna količini električnega naboja oz. elektrine, ki se je tvorila na vmesni površini kovina-koroziski medij (elektrolit). Model 342 — PRINCETON APPLIED RESEARCH, ki je instaliran na Metalurškem inštitutu (**slika 1**), ustreza navedenim zahtevam. Omogoča hitro določanje koroziskske odpornosti zlitin v različnih koroziskih medijih. Delovna elektroda (testni preizkušanec) je v obliki majhne tablete s premerom 15,5 mm in debelino do 3,2 mm. Vse meritve so računalniško podprtne, sistem različnih menujev,



Slika 1:

Računalniško podprt elektrokemično določanje koroziskske odpornosti zlitin z Modelom 342-PAR; levo potenciostat s korozisko celico, v sredini računalnik, na desni tiskalnik za zapis rezultatov, gra. jv itd.

¹ dr. Leopold VEHOVAR, dipl. ing. — slovenske Železarne — Metalurški inštitut Ljubljana, Lepi pot 11, 61000 Ljubljana

zbranih v programskem paketu, pa omogoča vodenje devet eksperimentov:

1. Potenciodinamična polarizacija
2. Tafov zapis
3. Polarizacijska upornost
4. Ciklična potenciodinamična polarizacija
5. Potenciokinetična reaktivacija
6. Potenciosartska metoda
7. Galvanostatska metoda
8. Galvanska korozija
9. Koroziski potencial

Potek različnih procesov je možno opazovati neposredno na ekranu. Čas trajanja eksperimentov je odvisen od hitrosti dviga potenciala v enoti časa. Ti časi se gibljejo od nekaj minut do ca. 2 ur (večji del le od 10 do 40 minut). Instrument je izjemno senzibiljen, saj meri koroziski tokove v mikroamperih, reproducibilnost rezultatov pa je velika.

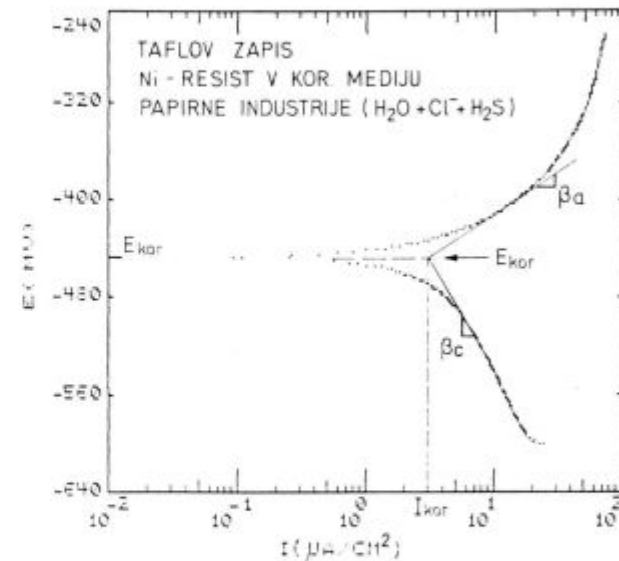
S posameznimi elektrokemičnimi eksperimenti je možno določiti naslednje:

Potenciodinamična polarizacija

Ta tehnika postopnega dviga potenciala v enoti časa k pozitivnejšim vrednostim (torej potenciodinamična sprememba potenciala) spreminja korozisko stabilnost kovine. Z njegovim naraščanjem postaja material termo-dinamično vse manj stabilen, kar pomeni, da narašča tudi koroziski tok, ki predstavlja merilo za stopnjo korozije. Na ta način se pridobi neka splošna kvalitativna slika o obnašanju materiala v nekem mediju (slika 2). Iz oblike krivulje je možno soditi o koroziski odpornosti, morebitni pasivaciji, pitting potencialu itd. Iz spodnjega katodnega dela krivulje in zgornjega anodnega pa je dodatno možno računati koroziski hitrost in polarizacijsko upornost, iz katere je tudi možno prognozirati stopnjo korozije.

Tafov zapis

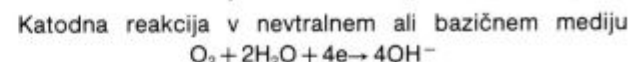
Tudi to je potenciodinamična metoda, ki jo dejansko uporabljamo le za ugotavljanje koroziskih hitrosti zlitin v različnih koroziskih medijih (slika 3). Zapis je predstav-



Slika 3:

Tafov zapis pri koroziji legirane litine namenjene za valje v koroziskem mediju ($H_2O + Cl^- + H_2S$)

Ijen s spodnjo katodno krivuljo, ki ponazarja parcialno katodno reakcijo redukcije različnih oksidacijskih sredstev iz elektrolita (npr. H^+ , O_2 itd.) in zgornjo anodno, s katero je podano odtagljanje kovine (oksidacija kovine z njenim prehodom v kovinske ione, t.j. katione M^{n+}). Ker je koroziski proces sestavljen iz anodne in katodne reakcije, lahko zapišemo npr. korozijo železa v kislem ali nevtralnem oz. bazičnem mediju takole:



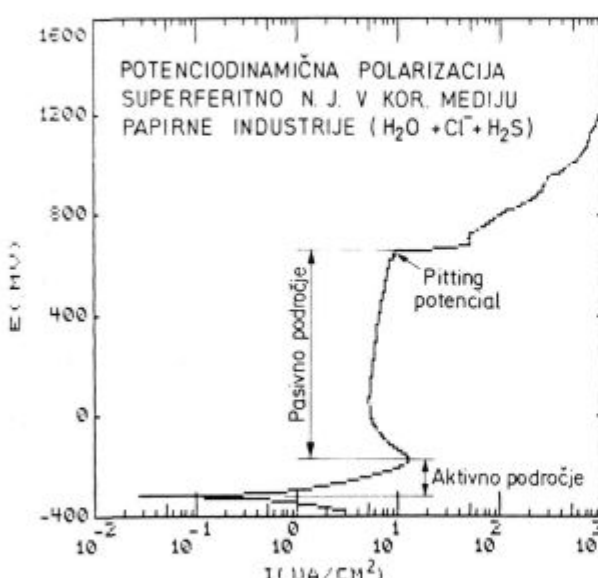
Zaradi različne hitrosti izločanja kovinskih ionov iz anode v elektrolit in različne stopnje redukcije oksidacijskih sredstev iz koroziskoga medija pri reakciji z valenčnimi elektronimi, sproščenimi pri anodni reakciji, je nagnjenost anodne ali katodne krivulje različna. Ravnina delne ali druge krivulje predstavlja t.i. Tafov premico, nagnjenost pa je izražena s Tafovovo konstanto, ali tudi faktorjem naklona (β_a je anodna Tafovova konstanta, β_c pa katodna Tafovova konstanta). V presečišču anodnega in katodnega dela premice dobimo na abscisi gostoto koroziskoga toka (i_{kor}), iz katerega računalnik računa koroziski hitrost, na ordinati pa koroziski potencial (E_{kor}).

Polarizacijska upornost

Tehnika ugotavljanja polarizacijske upornosti omogoča zelo hitro določanje koroziskih hitrosti. V ozkem potencialnem območju ± 25 mV glede na E_{kor} se meri rezultirajoči tok, ki je pri takšni odvisnosti predstavljen s premico — slika 4. Nagnjenost takšne premice kot funkcije potencial-tok ustreza polarizacijski upornosti, ki v kombinaciji s Tafovima konstantama omogoča določanje koroziskoga toka, ki je osnova za izračun koroziskih hitrosti.

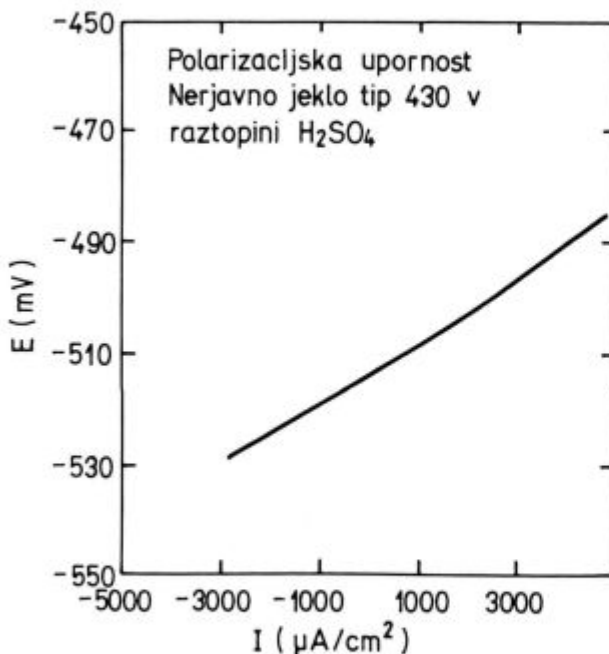
1. Polarizacijska upornost (R_p):

$$R_p (k\Omega) = \frac{\Delta E (mV)}{\Delta I (\mu A)}$$



Slika 2:

Tipična potenciodinamična polarizacijska krivulja za superferitno nerjavno jeklo v koroziskem mediju papirne industrije ($H_2O + Cl^- + H_2S$)



Slika 4:
Tipičen zapis za polarizacijsko upornost

2. Korozijiški tok (i_{kor}):

$$i_{kor} (\mu\text{A}/\text{cm}^2) = \frac{(\beta_a)(\beta_c)}{2.3(\beta_a + \beta_c)(A)(R_p)}$$

A = površina vzorca v cm^2

3. Korozijiška hitrost (mm/leto):

$$\text{Korozijiška hitrost} = \frac{(i_{kor})(EW)}{p}$$

EW = ekvivalentna teža v gramih

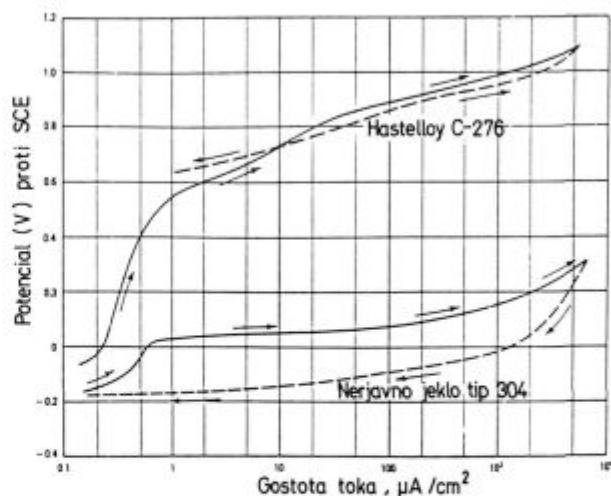
p = gostota materiala v g/cm^3

Ker je tudi določanje polarizacijske upornosti računalniško podprt, je povsem jasno, da izračune od točke 1 do 3 opravi računalnik sam.

Ciklična potenciodinamična polarizacija

Ciklična potenciodinamična polarizacija nudi kvalitativne poglede na mehanizme nastajanja pittinga (korozijiških izjed) v pasivnih filmih (slika 5). Pri študiju pasivnosti in na tej osnovi določanja odpornosti različnih zlitin (nerjavna jekla, nikljeve zlitine itd.), je torej potrebno izkoristiti prednosti te metode, ki dovoljuje preprečljivo napoveduje možnost rušenja pasivnosti.

Bistvo metode je tvorba pasivnega filma, ki nastaja pri anodni potenciodinamični polarizaciji (posame se anodni del krivulje), temu sledi z nadaljnjim dvigom potenciala preko točke E_{pit} (pitting potencial) rušenje pasivnosti, kar povzroči izrazito naraščanje korozijiškega toka, v končni fazi pa se s polarizacijo v nasprotni smeri izvede bolj ali manj učinkovita ponovna pasivacija (repasivacija) prej nastalih pitov. Sposobnost repasivacije se manifestira s postopnim upadanjem korozijiškega toka. Material ima majhno tendenco za nastajanje pittinga, če je tako tvorjena zanka ozka, oziroma pri čim višjem potencialu se zaključi zanka, tem večja je odpornost pasivnega filma. Podobno lahko trdimo: višja ko je lega zanke v sistemu potencial-tok, kvalitetnejši je film (na sliki 5 ima Hastelloy C-276 večjo odpornost kot nerjavno jeklo 304).



Slika 5:
Ciklična potenciodinamična polarizacija za Hastelloy C-276 in nerjavno jeklo 304 v 3,5 % raztopini NaCl

Potenciokinetična reaktivacija

Potenciokinetična reaktivacija ali tudi anodna reaktivacija polarizacija predstavlja metodo, ki omogoča študij občutljivosti nerjavnih jekel do interkristalne korozije zaradi izločanja Cr karbidov ali Cr nitridov po mejah zrn. Z merjenjem količine elektrine (Q), nastale v času obratne potenciodinamične polarizacije, iz pasivnega področja skozi področje aktivne korozije do korozijiškega potenciala (slika 6), je omogočena zaznava interkristalne korozije. Večja ko je senzibilnost materiala, večja je integrirana površina, ki ustreza količini elektrine.

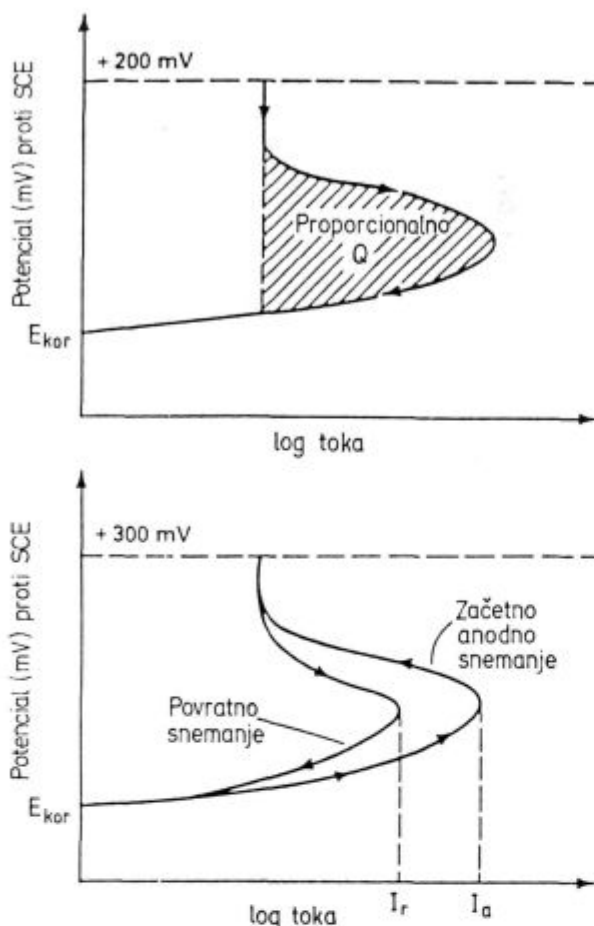
Modifikacija prejšnje tehnike predstavlja Akashijev postopek; z anodno polarizacijo preko aktivnega področja v pasivno, ki ji sledi polarizacija v obratni smeri, se določi razmerje med I_1/I_2 , ki predstavlja merilo za senzibilnost do interkristalne korozije (I_1 je maks. tok, ki je prisoten pri povratni polarizaciji, I_2 pa maks. tok, ki se pojavlja pri začetni anodni polarizaciji). Čim večja je prisotnost Cr karbidov oz. Cr nitridov, tem večje je osiromašenje matrice s kromom in tem manjša je možnost repasivacije teh področij. Ker je ponovna pasivacija poškodovanih mest nepopolna, se pojavlja tok I_1 , ki narašča z naraščanjem osiromašenja s kromom oz. z upadanjem repasivacije tako osiromašenih mest. Pri nerjavnih jeklih, ki niso občutljiva na interkristalno korozijo, ostaja pasivni film pri povratni polarizaciji intakten, značilna konica (peak) pa manjka.

Potenciostatska metoda

Potenciostatski eksperiment je omejen na določevanje toka v nekem časovnem obdobju, pri konstantnem potencialu. Takšen način dela omogoča študij vodikove krhkosti (katodna polarizacija, pri kateri polariziramo preizkušanec z urivanjem toka pri konstantnem potencialu, katerega vrednost je v katodnem področju), ali napetostne korozije (anodna polarizacija, pri kateri vrvamo tok pri konstantnem potencialu, ki se nahaja v anodnem področju).

Galvanostatska metoda

Pri konstantnem toku opazujemo potencial v nekem časovnem obdobju. Ta tehnika je uporabna za rušenje pasivnega filma pri konstantnem toku, medtem ko opa-



Slika 6:

Shema dveh postopkov potenciokinetične reaktivacije:
a) Novak-Clark metoda, b) Akashi metoda

zujemo spremembo potenciala. Na tej osnovi je tudi zasnovano merjenje debeline filma.

Galvanska korozija

V tem primeru se določuje korozionski tok, ki nastaja v nekem časovnem obdobju pri koroziji dveh kovin v različnimi potencialoma. Metoda je torej primerna za ugotavljanje možnosti kombinacije različnih materialov, kar pogosto iščejo v procesni tehniki, gradbeništvu itd.

Korozionski potencial

Ta tehnika je primerna za spremjanje korozionskega potenciala kovine, izpostavljene delovanju korozionskega medija v določenem časovnem obdobju. Pri takšnem eksperimentirjanju dejansko ugotavljamo čas, ki je potreben, da se dosegne ravnotežno stanje (posredno tudi hitrost za doseganje tega stanja), ki vodi do zamiranja korozionskega procesa.

Med vsemi navedenimi elektrokemičnimi metodami je vsekakor v praksi najbolj rabljenih prvih pet.

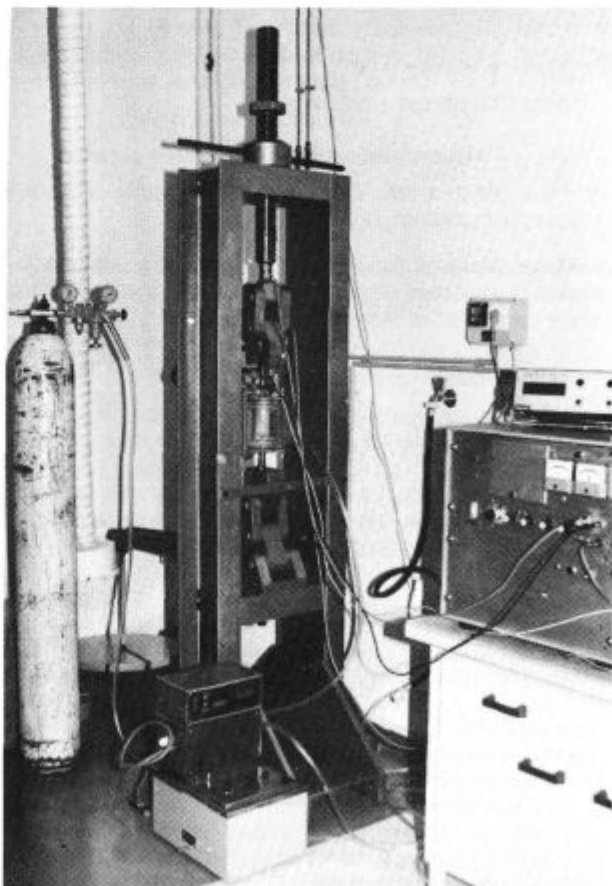
2.2. Raziskave napetostne korozije in povezava te s poškodbami zaradi istočasnega delovanja vodika

Za takšno raziskovalno delo smo s pomočjo vseh treh slovenskih železarn in drugih podjetij v Sloveniji — predvsem Hidromontaže, Belta, Mostovne, Aluminija Komnen in še nekaterih drugih, usposobili center za napeto-

stno korozijo in vodikovo krhkost. To je pomemben dosežek, saj je tovrstna problematika v središču pozornosti vseh korozionskih kongresov zadnjih 15 let. Napetostno pokanje zaradi napetostne korozije ali kombinacije te z vodikom, je zelo pogost pojav zaradi naraščanja novih tehnologij, kjer se pojavlja vedno bolj agresivni mediji in zahteve po materialih z višjimi dopustnimi napetostmi, ob istočasno večji zahtevi po daljši življenski dobi in varnem obratovanju. Posledica neznanja so številni katastrofalni lomi vitalnih delov opreme v kemični in petrokemični industriji, ruderstvu, transportu, termo elektrarnah in še v mnogi drugi procesni tehniki.

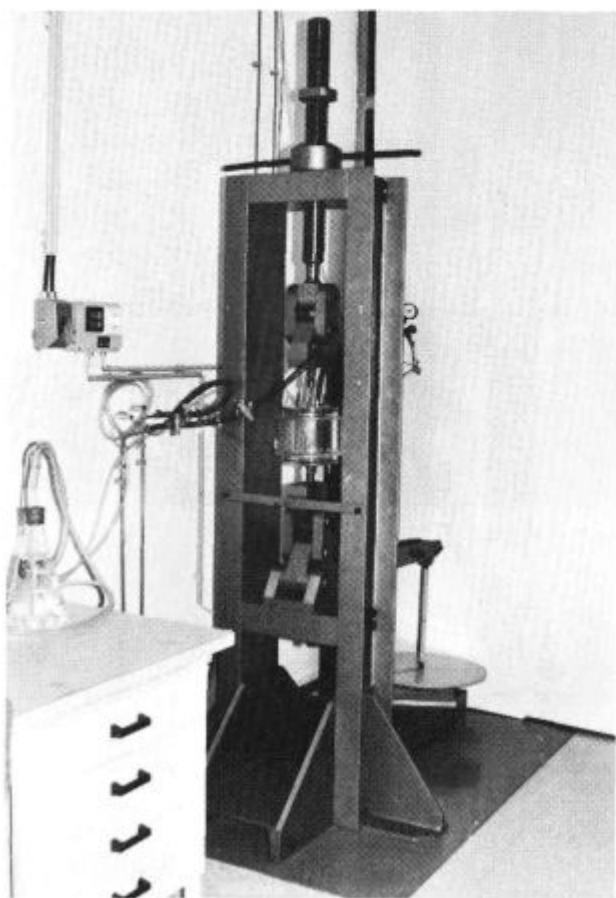
Krhkost kovin zaradi napetostne korozije in vodikove krhkosti je zelo kompleksen pojem, povezan z različnimi teorijami in mehanizmi. Ti mehanizmi so v tesni povezavi z mikrostrukturo kovine, njeno kristalno zgradbo in napakami v kristalni mreži, kemično sestavo, elektronsko zgradbo, napetostmi v materialu, vrsto korozionskega medija itd. Študij obeh fenomenov je torej zelo kompleksen, določeni mehanizmi pa nedorečeni in težko razumljivi.

Na slikah 7 in 8 je predstavljen del opreme iz tega laboratorija, ki z anodno polarizacijo preko časovno zelo stabilnega potenciostata omogoča študij napetostne korozije v kombinaciji z vodikovo krhkostjo, s katodno polarizacijo pa čisto vodikovo krhkost. Slednje smo izpolnili še z meritvami permeabilnosti jekel za vodik, s čimer je omogočen študij vpliva različnih pasti (nečistoč, dislokacij in drugih mikrostrukturnih konstituentov) na pojav krhkosti v korozionskih medijih.



Slika 7:

Naprava za obremenjevanje preizkušancev in sklop preostalih aparatur za raziskavo napetostne korozije in vodikove krhkosti



Z dodatno raziskovalno opremo kemičnega laboratorija (številne analize korozjskih produktov, medijev in vsebnosti absorbiranega vodika z visokotemperaturno ekstrakcijo v vakuumu), s pomočjo klasične mikroskopije, fraktografske analize prelomnih površin na Scanning elektronskem mikroskopu, mikroanalize na elektronskem mikroanalizatorju in mehanskega laboratorija, smo uspeli zaokrožiti tovrstne raziskave, ki že uspešno preusmerjajo domačo metalurško dejavnost iz kvantitete v kvalitetu.

2.3. Atmosferske korozjske raziskave in drugi standardni ter nestandardni testi

Študij vpliva atmosferil na korozjske procese protikorozisko zaščitenih in nezaščitenih kovinskih materialov, omogočata slana in vlažna korozjska komora, ki sta bralcu tega članka gotovo že poznani in ju posebej ne predstavljamo.

Laboratorij je usposobljen tudi za številne standardne ali nestandardne preiskave, npr. nerjavnih jekel, superzlitin in različnih barvnih kovin.

V fazi vpeljave je korozjsko utrujanje, pa tudi lomna mehanika, ki z določanjem faktorja intenzitete napetosti (K_{ISCC} , K_{IHE}) omogoča boljše vrednotenje materialov in njihovo selekcijo.

Slika 8:

Opazovanje življenske dobe pri napetostno koroziskem testu v koroziskem mediju, nasičenem s H_2S .